

EĞİLME MOMENTİ, EKSENEL GERİLME VE İÇ BASINÇ ALTINDAKİ MERKEZİ ÇATLAKLI SİLİNDİRİK BORULARIN GERİLME YOĞUNLUK FAKTÖRÜ

Mehmet AKTAŞ

Afyon Kocatepe Üniversitesi, Uşak Mühendislik Fakültesi, Makine Mühendisliği Bölümü, 64300/Uşak

Geliş Tarihi : 02.05.2001

ÖZET

Bu çalışmada; iç basınç etkisindeki silindirik bir numunenin eksenel gerilme ve eğilme momentine maruz kalması durumunda, numunenin sahip olacağı gerilme yoğunluk faktörü hesaplanmıştır. Bu nedenle numuneye etkiyen eğilme momenti, eksenel gerilme ve iç basınç gibi faktörler ayrı ayrı hesaplanarak superpoze edilmişdir. Silindirik numune için belirlenen gerilme yoğunluk faktörü Mod I diye bilinen açılma modu içindir. Silindirik numunenin merkezinde çevresel olarak belirli açılarda çatlaklar olduğu düşünülenhangi açıda, nasıl ve ne kadar bir etkinin olduğu tartışılmıştır.

Anahtar Kelimeler : Gerilme yoğunluk faktörü, İç basınç, Eğilme momenti, Eksenel gerilme

STRESS INTENSITY FACTOR FOR CENTER CRACKS IN CYLINDRICAL PIPES UNDER BENDING MOMENT, AXIAL STRESS AND INTERNAL PRESSURE

ABSTRACT

In this study; the stress intensity factor was computed for a cylindrical object that was under effect of bending moment, axial stress and internal pressure. In order to make the calculations easy, the stress intensity factor was calculated individually for bending moment, axial stress and internal pressure. Then, the result were superimposed to have a final stress intensity factor for the concerned object. The calculated stress intensity factor is known as Mode I, which corresponds to "opening mode". Furthermore, it was assumed that there were some initial radial cracks around the center line for a given object and the amount of change on the stress intensity factor was discussed.

Key Words : Stress intensity factor, Internal pressure, Bending moment, Axial stress

1. GİRİŞ

Gerilme yoğunluk faktörü; malzemelerin en önemli mekanik özelliklerinden olan kırılma tokluğununu belirlemek için kullanılan faktörlerdir. Dolayısıyla, gerilme yoğunluk faktörü değerinin bilişmesi o malzeme için ömrü tahmini yapmamızı kolaylaştırır.

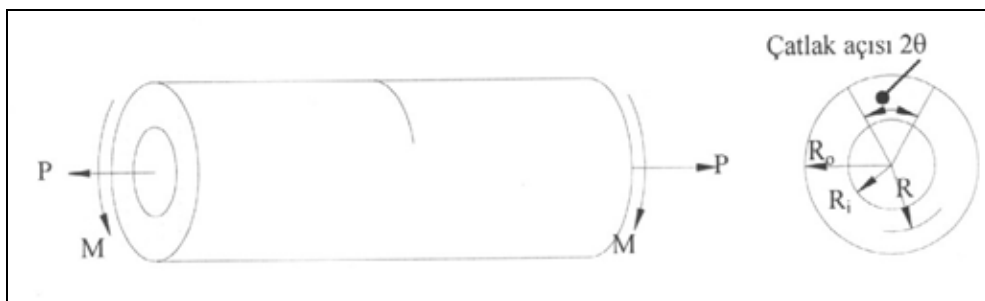
Gerilme yoğunluk faktörü K uygulanan gerilme ile kritik bir değere ulaşınca çatlak ilerlemeye başlar. Gerilme yoğunluk faktörünün bu kritik değeri 'Kırılma Tokluğu' olarak adlandırılır. Gerilme

yoğunluk faktörü yükleme biçimini ve çatlak geometrisine bağlı olduğu halde, kırılma tokluğu malzemenin metalürjik yapısına da bağlıdır. Kırılma tokluğu tespitinden önce ucunda meydana gelen plastik bölge büyüklüğüne göre yapılan deneylerin düzlem gerilme veya düzlem genleme durumlarında olup olmadıklarının bilinmesi gereklidir.

Gerilme yoğunluk faktörü; kırılma tokluğunun en önemli parametrelerinden olduğundan bu konuya ilgili pek çok çalışma mevcuttur. Jhon (1997) gerilme yoğunluk faktörünü komplians metodundan yararlanarak, tek kenar çentikli çekme numunesini

dış merkezli yükleme durumunda belirlemiştir. Qi-Zhi and Jhinqiu (1998) simetrik olmayan sonlu uzunluktaki numuneler için genel bir gerilme yoğunluk faktörü eşitliği elde etmişlerdir. Ayrıca; Newman and Raju (1981) yüzey çatıaklı levhalar için deneysel yöntemler kullanarak gerilme yoğunluk faktörünü ifade etmişlerdir.

Gerilme yoğunluk faktörünü belirlemek amacıyla kullanılan silindirik numune Şekil 1'de görülmektedir. Bu geometride kullanılan P değeri uygulanan yükü, M eğilme momentini, R iç ve dış çap toplamının yarısı, t numunenin sahip olduğu cedar kalınlığı ve en önemli Y çatlağın yerleştiği açıdır.

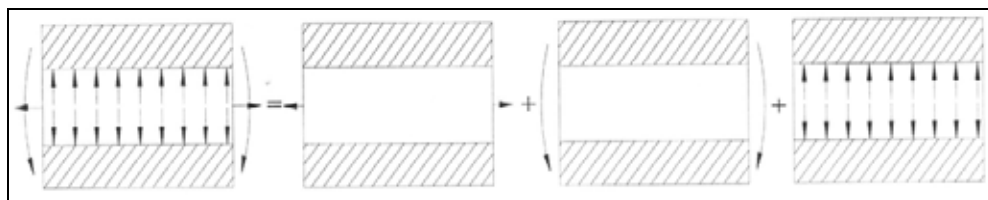


Şekil 1. Çevresel çatıak içeren iç basınç etkisindeki silindirik bir numuneye eksenel gerilme ve eğilme momentinin etkimesi durumu

2. ANALATİK YÖNTEM

Şekil 2'de görülen iç basınç, çekme kuvveti ve eğilme momentine maruz kalan merkezinde Y

açısında çatıak bulunan silindirik geometriler için temel yöntem bu etkilerin ayrı ayrı hesaplanıp süperpoze edilmesidir.



Şekil 2. Eksenel gerilme, eğilme momenti ve iç basıncın süperpoze edilmesi

Silindirik geometriler için toplam gerilme yoğunluk faktörü süperpozisyon yönteminden yararlanarak aşağıdaki gibi verilebilir.

$$K_{I_{TOP}} = K_{I_{CEK}} + K_{I_{EGG}} + K_{I_{BAS}} \quad (1)$$

Silindirik geometrilere çekme etkisinin olması durumunda gerilme yoğunluk faktörü; [4]

$$K_{I_{CEK}} = \frac{P}{2\pi R t} \sqrt{\pi R \theta} F_t \quad (2)$$

denklemiyle verilir. Burada; P uygulanan gerilme değeri, R iç ve dış yarıçap toplamlarının yarısı, t numunenin cedar kalınlığı, F_t ise Y ve R/t oranına bağlı A değerinin bir fonksiyonu olup (3) denklemi ile verilebilir.

$$F_t = 1 + A \left[5.3303 \left(\frac{\theta}{\pi} \right)^{1.5} + 18.773 \left(\frac{\theta}{\pi} \right)^{4.24} \right] \quad (3)$$

(3) denklemindeki A değeri hesaplanması düşünülen $R/t = 6, 8, 10, 12, 14, 16, 18$ ve 20 değerleri için Tablo 1'de verilmektedir. Tablo 1 yardımcıyla elde edilen açılma modu için gerilme yoğunluk faktörü; Grafik 1'de çatıak açısının $40[Y/200]$ değerleri arasında nasıl bir eğri çizdiği gösterilmektedir.

Eğilme momenti etkisindeki bir silindirik numunenin gerilme yoğunluk faktörünü (Bazant, 1990; Herman and Gao, 1992) enerjideki boşalma oranlarından yararlanarak (4) denklemindeki gibi vermişlerdir.

$$K_{I_{EGG}} = \frac{M}{\pi R^2 t} \sqrt{\pi R \theta} F_b \quad (4)$$

Burada; M numuneye etkiyen eğilme momenti, F_b ise Y ve A değerinin (Bkz Tablo 1) bir fonksiyonu olup (5) denklemiyle verilebilir.

$$F_b = 1 + A \left[4.5967 \left(\frac{\theta}{\pi} \right)^{1.5} + 2.6422 \left(\frac{\theta}{\pi} \right)^{4.24} \right] \quad (5)$$

İç basınç etkisinde kalan ve merkezinde Y açısından çatıtlak bulunan silindirik bir numunenin gerilme yoğunluk faktörü Sanders (1983) tarafından (6) denklemindeki gibi verilmiştir.

$$K_{I_{BAS}} = \frac{PR}{2t} \sqrt{\pi R \theta} F_m \quad (6)$$

Yukarıda sürekli karşılaşduğumuz ve R/t oranına bağlı olarak değişen A , F_t , F_b ve F_m değerleri Tablo 1'de verilmektedir.

Tablo 1 R/t Oranına Bağlı Olarak Değişen F_t , F_b , F_m Değerleri

R/t	A	F_t			F_b			F_m		
		2008	1208	408	2008	1208	408	2008	1208	408
6	0.841	4.162	2.012	1.167	2.784	1.765	1.143	2.010	1.546	1.119
8	0.931	4.499	2.120	1.185	2.975	1.847	1.158	2.183	1.665	1.147
10	1	4.760	2.204	1.199	3.122	1.910	1.170	2.336	1.757	1.174
12	1.158	5.355	2.395	1.230	3.458	2.054	1.197	2.475	1.840	1.200
14	1.270	5.775	2.529	1.253	3.695	2.156	1.216	2.365	1.916	1.224
16	1.358	6.106	2.635	1.270	3.881	2.236	1.231	2.720	1.987	1.248
18	1.432	6.383	2.724	1.285	4.038	2.303	1.243	2.831	2.054	1.271
20	1.495	6.622	2.800	1.298	4.173	2.361	1.254	2.936	2.117	1.293

Sonuç olarak; Eğilme momenti, çekme kuvveti ve iç basınç etkisinde kalan bir numunenin açılma modu için gerilme yoğunluk faktörü (2), (4) ve (6) denklemelerinin süperpozesinden elde edilebilir.

$$K_{I_{TOP}} = \frac{\sqrt{\pi R \theta}}{2\pi R t} [P F_t + \frac{2M}{R} F_b + \pi P R^2 F_m] \quad (7)$$

Bu ifadedeki M eğilme momenti değeri yine (Bazant, 1990; Herman and Gao, 1992) tarafından (8) denklemesindeki gibi verilir.

$$M = P \frac{4R^2 + t^2}{4(2R + t)} \quad (8)$$

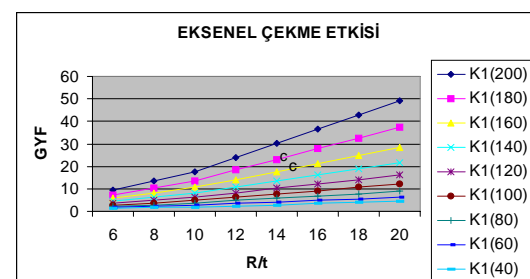
Böylece eğilme momenti, çekme kuvveti ve iç basınç etkilerinin hepsi birlikte düşünürlür ve süperpoze edilirse açılma modu K_I için gerilme yoğunluk faktörünün son hali (9) denklemesindeki gibi olur.

$$K_{I_{TOP}} = \frac{P\sqrt{\pi R \theta}}{2\pi R t} [F_t + (\frac{4R^2 + t^2}{4R^2 + 2Rt}) F_b + \pi R^2 F_m] \quad (9)$$

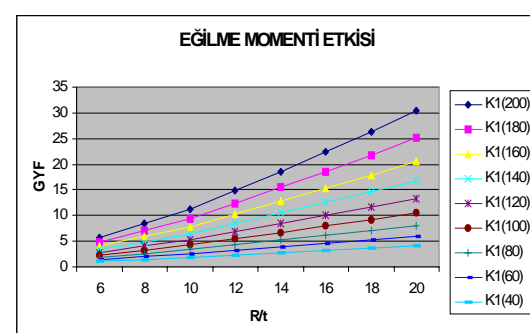
3. DEĞERLENDİRME VE SONUÇ

İç basınç etkisindeki silindirik bir numuneye; eksenel çekme kuvveti etkimesi durumunda Şekil 3, eğilme momenti etkimesi durumunda

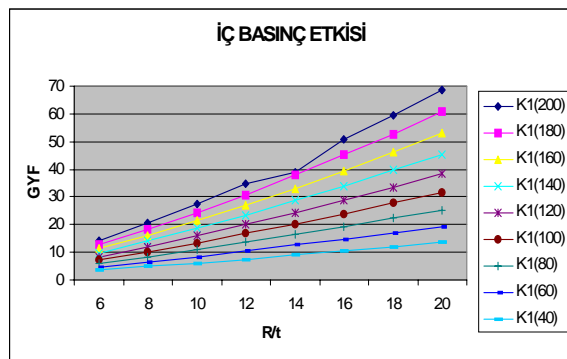
Şekil 4 ve iç basınç etkimesi durumunda Şekil 5'deki gibi gerilme yoğunluk faktörü eğrileri R/t oranına bağlı olarak elde edilir. Tüm bu etkiler birlikte düşünüldüğünde ise gerilme yoğunluk faktörü Şekil 6'teki gibi olur.



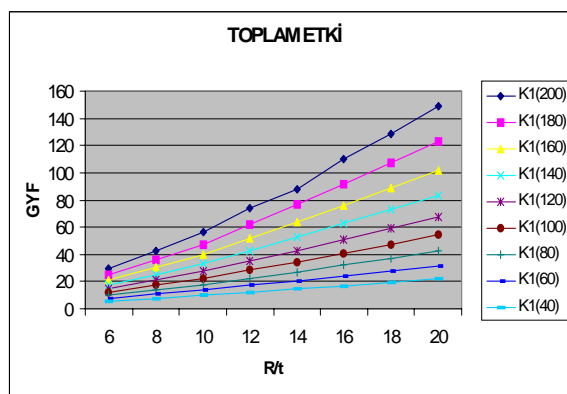
Şekil 3. Eksenel çekme kuvveti etkimesi durumunda gerilme yoğunluk faktörü



Şekil 4. Eğilme momenti etkimesi durumunda gerilme yoğunluk faktörü



Şekil 5. İç basıncın etkimesi halinde gerilme yoğunluk faktörü



Şekil 6. Eksenel çekme kuvveti, eğilme momenti ve iç basıncın birlikte etkimesi durumunda gerilme yoğunluk faktörü

Bu grafiklerden R/t oranı ve çatıtlak açısı arttıkça gerilme yoğunluk faktörü aralığının da arttığı görülür. Düşük çatıtlak açısı değerlerinde gerilme yoğunluk faktörleri birbirine yakın değerlerde olup çatıtlak açısı artışıyla da gerilme yoğunluk faktörünün arttığı rahatlıkla görülebilir. Yüksek çatıtlak açısı değerlerinde, grafik lineer olmayıp düşük açılarda ise lineere yakındır.

Eksenel çekme kuvveti, eğilme momenti ve iç basıncı grafiklerinden; gerilme yoğunluk faktöründe en çok katkıda bulunanın basıncın etkisi, en az katkıda bulunanın ise eğilme moment etkisi olduğu görülür.

R/t oranının sabit kalması durumunda; büyük çatıtlak

açısına sahip numunenin gerilme yoğunluk faktörü, küçük çatıtlak açısına sahip numunenin gerilme yoğunluk faktöründen daha yüksek değerdedir. Dolayısıyla büyük çatıtlak açılarına sahip numunelerin kırılma tokluğu, küçük çatıtlak açılarına sahip numunelerin kırılma tokluklarından daha büyütür.

Sonuç olarak; iç basıncı, eğilme momenti ve eksenel çekme kuvvette maruz kalan silindirik numunelerde, numune çapının artması ve cedar kalınlığının azalmasıyla gerilme yoğunluk faktörü artmaktadır. Ayrıca gerilme yoğunluk faktörü artışına numunedede bulunan çatıtlak açısının da katkısı vardır.

4. KAYNAKLAR

Anderson, T. L. 1991. Fracture Mechanics Fundamentals and Applications, 1. Basım, CRC Press, Florida, 793.

Bazant, Z. P. 1990. Justifications and Improvement of Kienzler and Hermann Estimate of Stress Intensity Factors of Cracked Beams, Engineering Fracture Mechanics, (36), 523-525.

Herman, G., Gao, H. 1992. On Estimates of Stress Intensity Factors for Cracked Beams and Pipes, Engineering Fracture Mechanics, (41), 695-706.

John, R. 1997. Stress Intensity Factor and Compliance Solutions for an Eccentrically Loaded Single Edge Cracked Geometry, Engineering Fracture Mechanics, 58 (1/2), 87-96.

Newman, J. C., Raju, I. S. 1981. An Empirical Stress Intensity Factor Equation for The Surface Crack, Engineering Fracture Mechanics, 15 (1/2), 185-192.

Qi-Zhi, W., Jinqiu, C. 1998. Two General Equations for Deriving SIF Expressions of Some Axisymmetric Finite Domain Problems, Engineering Fracture Mechanics, (61), 619-634.

Sanders, J. L. 1983. Circumferential Through-Cracks in Cylindrical Shells Under Combined Bending and Tension, Journal of Applied Mechanics, (50), 221-235.